

FATTIBILTA' GEOLOGICA PER VARIANTE A PIANO DI LOTTIZZAZIONE c.0.4V Loc. LA CONCIA

RICHIEDENTE: LKM Distrbution s.r.l.

UBICAZIONE: Loc. La Concia

OGGETTO: FATTIBILITA' GEOLOGICA

DATA: APRILE 2025

IL TECNICO

BOTT 6: 3A

PIETRO
MANINI
O

ROMANINI

PREMESSA

Ad evasione dell'incarico ricevuto dalla proprietà è stato eseguito uno studio di fattibilità geologica finalizzato alla varante di lottizzazione di loc. La Concia, a suo tempo approvata, di cui si richiede modifica urbanistica per una nuova tipologia edilizia di fabbricati abitativi.

1 - UBICAZIONE

L'area oggetto di studio è inserita topograficamente in prossimità del toponimo La Concia nel comprensorio comunale di Lucignano.

UBICAZIONE INTERVENTO E ASPETTI GEOMORFOLOGICI E SISMICI

Comune di Lucignano

Localita' La Concia

Intervento fabbricato abitativo
Geolitologia formazione di Sillano

Geomorfologia

Morfologicamente stabile

Idrogeologia Scarsa permeabilita' con assenza di

falde superficiali

Rischio Idraulico e ambiti Non presenti Vincolo idrogeologico Non presente Aspetti sismici Zona classe 3

Coefficiente fondazione

Liquefazione Assente

Pericolosita' geologica Classe 2
Pericolosità idraulica Classe 1
Fattibilita' geologica Classe 2

2 - VINCOLI

2.1 - VINCOLO IDROGEOLOGICO

L'area di progetto NON è soggetta a normativa in tema di vincolo idrogeologico.

2.2 - RISCHIO IDRAULICO

In base al vigente Piano Strutturale l'area oggetto di studio non è soggetta a normativa in tema di rischio idraulico elevato o molto elevato.

INDAGINE GEOLOGICA

3- TIPOLOGIA DI INDAGINE

Per la definizione delle caratteristiche geologico stratigrafiche e la parametrizzazione fisico-meccanica dei terreni presenti nell'area di intervento si è proceduto, sia un rilievo geologico, sia facendo riferimento a prove penetrometriche del tipo D.P.S.H., con camicia di rivestimento, eseguita nella zona di cui si allega una prova indicativa già eseguita per la fattibilità originale

A completamento dell'indagine è stata eseguita una prova sismica (onde HVSR) e una misura del rumore sismico al fine di ricostruire la stratigrafia in modo continuo e determinare la Vs30 e la classe del suolo.

4-INQUADRAMENTO GEOLOGICO-STRATIGRAFICO

L'area oggetto di intervento si trova in loc. La Concia nelle pendici di una delle tante collinette di origine marina poste a Sud-ovest di Lucignano.

Il suo substrato è costituito da un alternanza di livelli arenacei e marnosi. Detto materiale, sprofondato secondo un modello a Horts e Graben è stato nel periodo pliocenico ricoperto da uno spesso strato argilloso e argilloso sabbioso di facies prima lacustre e successivamente continentale.

Anche questo, nel periodo Quaternario, e solo nelle aree di fondovalle è stato ricoperto da terreni alluvionali eterogenei e sciolti.

5-GEOLOGIA

La zona è ubicata nelle pendici di una collinetta terrazzata dove è affiorante la formazione di Monte Senario

Geologicamente in detta collina alle quote piu' alte affiora materiale composto da sabbie e sabbie limose rossastre normalconsolidate per circa 7 m. di profondità con la presenza di trovanti calcarei e marnosi. La stratigrafia prosegue con la presenza di materiale argilloso grigio e compatto almeno fino alla profondita' di oltre 50 m.

Detta formazione affiora estesamente per tutta la zona con una stratificazione sub orizzontale al pendio.

6-MORFOLOGIA

La zona è ubicata nelle pendici di una collinetta di un debole versante dove è affiorante materiale sabbioso e argilloso del pliocene.

Detta collinetta è debolmente acclive (3-5%) e priva di problemi gravitativi in quanto l'angolo naturale del terreno è nettamente superiore a quello di inclinazione del versante.

L'intervento in progetto non necessita di opere edili particolari ma necessitano esclusivamente di modesti movimenti terra e di una corretta regimazione delle acque attraverso fossette di scolo che contribuiranno a migliorare l'attuale assetto idrografico.

I fabbricati esistenti nella zona risultano essere stabili e privi di lesioni dovute ad effetti morfologici.

7-RISCHIO IDRAULICO

La zona non rientra nelle aree a rischio idraulico.

La zona non ricade in area a rischio per quanto previsto dalla C.T.R. delle aree allagate.

La zona non rientra nelle aree previste dal D. C.R. 230.

La zona trovasi in area a rischio idraulico irrilevante sia per la quota sia per la pendenza del terreno che favoriscono lo scolo delle acque.

8-IDROGEOLOGIA

Il materiale affiorante è permeabile per porosita' e dal rilievo eseguito, dalle penetrometrie e dall'indagine sismica si puo' affermare che non esiste presenza di acqua almeno fino alla profondita' di 30 m. dal piano campagna.

Da conoscenze dirette sulla zona posso affermare che almeno fino alla profondità di 70 m. il materiale risulta essere sabbioso argilloso e poco permeabile.

L'intervento previsto pertanto non porta a variazioni idrogeologiche della zona.

9 - ANALISI SISMICA

Al fine di redigere la cartografia MOPS e quindi effettuare lo studio di MS per l'area oggetto d'intervento è stato eseguito uno studio del rumore sismico spettrale HVSR.

REPORT INDAGINE SISMICA HVSR

La tecnica HVSR (Horizontal to Vertical Spectral Ratios) è basata sulla misura dei rapporti medi fra le ampiezze spettrali delle componenti orizzontali e verticale del rumore sismico ambientale.

Le frequenze di risonanza corrispondono ai massimi della funzione che rappresenta rapporti spettrali medi in funzione della frequenza (funzione H/V). L'ampiezza di questi massimi è proporzionale (anche se non linearmente) all'entità del contrasto di impedenza sismica esistente alla base della copertura.

La misura della funzione H/V richiede l'acquisizione del rumore sismico ambientale in un punto per tempi dell'ordine di diverse decine di minuti. Questa durata ha lo scopo di garantire la misura del campo di rumore generato da una molteplicità di sorgenti dalle diverse direzioni dello spazio. La misura va effettuata utilizzando un sistema di acquisizione tri-direzionale caratterizzato da sufficiente sensibilità. I dati raccolti vanno analizzati per determinare i rapporti medi fra le componenti spettrali del rumore misurate sul piano orizzontale e verticale. A questo scopo, la serie di rumore ambientale viene suddivisa in segmenti di durata simile (tipicamente qualche decina di secondi) per ciascuna delle quali viene determinato lo spettro del moto. Dopo un opportuno lisciamento, le ordinate spettrali del moto sul piano orizzontale, ottenuto mediando opportunamente i valori ottenuti nelle due direzioni principali, vengono divise per quelle ottenute nella direzione verticale. L'andamento dei rapporti spettrali viene ottenuto mediando i valori ottenuti per le diverse finestre temporali considerate. Per definire la qualità delle misure vengono anche valutate le variazioni temporali e azimutali dei rapporti spettrali nel corso della sessione di misura.

Dati generali

Nome progetto: FATTIBILITA' A VARIANTE LOTTIZZAZIONE

Committente: LKM DISTRRIBUZION

Data: 06/04/2025 11:00:00

Zona: Interessata da vento, disturbo veicolare debole

Tracce in input

Dati riepilogativi:

Numero tracce: 3

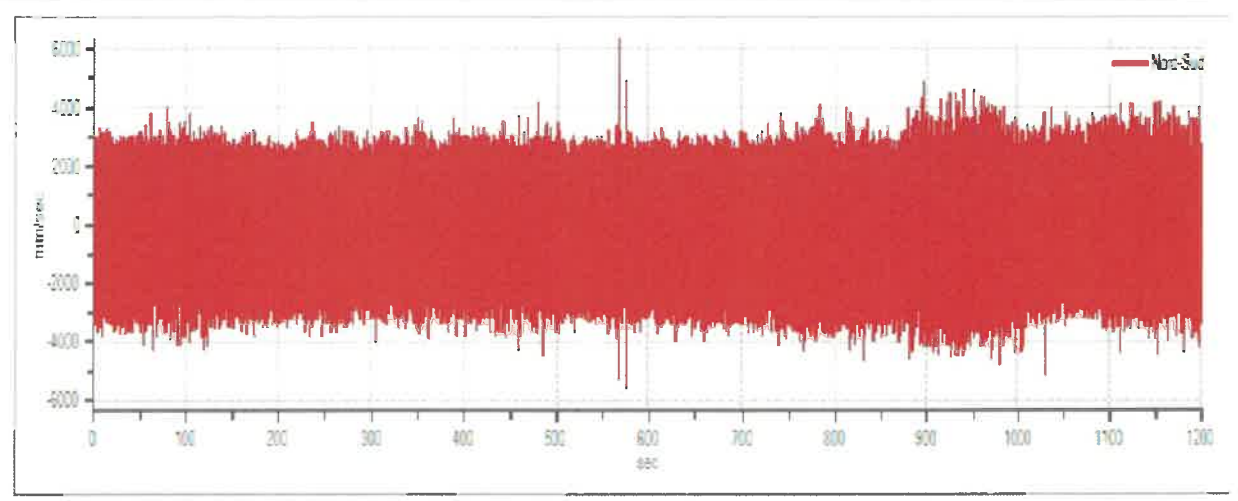
Durata registrazione: 1000 s

Frequenza di campionamento: 300.00 Hz

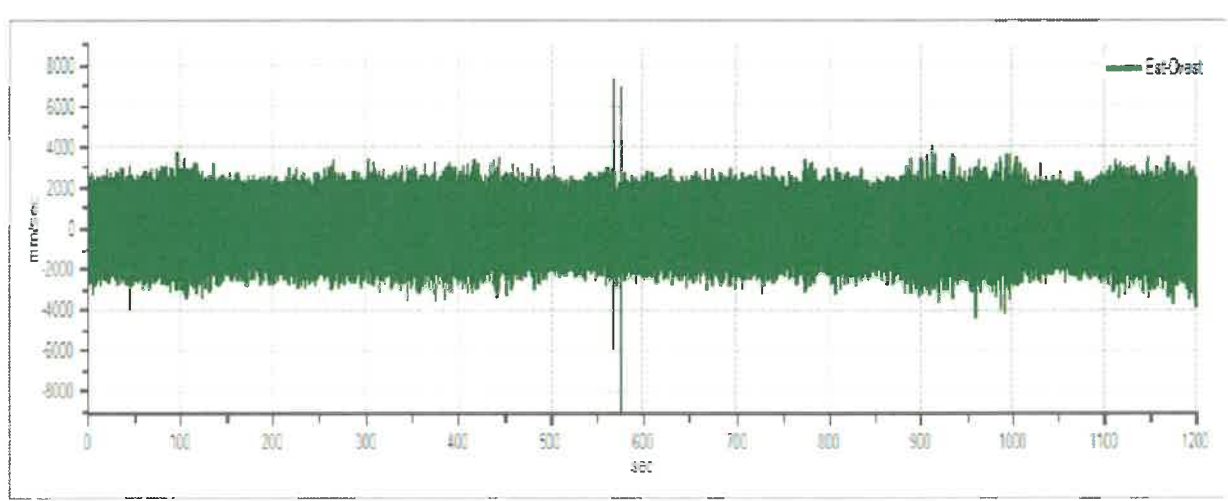
Numero campioni: 300000

Direzioni tracce: Nord-Sud; Est-Ovest; Verticale

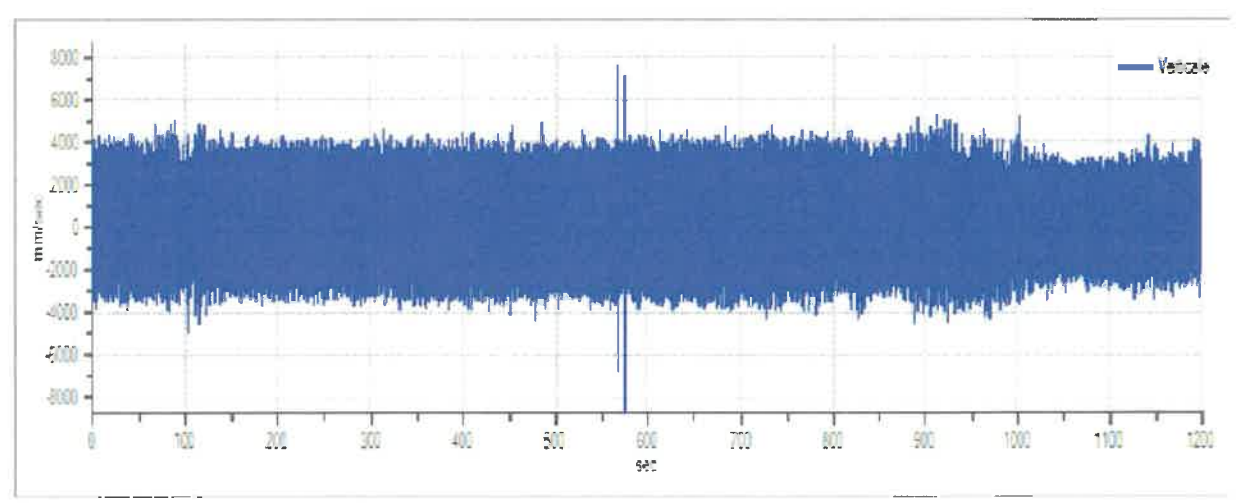
Grafico Tracce



Traccia in direzione Nord-Sud



Traccia in direzione Est-Ovest



Traccia in direzione verticale

Finestre selezionate

Dati riepilogativi:

Numero totale finestre

selezionate:

43

Numero finestre incluse nel

calcolo: 43 Dimensione

temporale finestre: 27,307 s

Tipo di lisciamento: Triagolare proporzionale

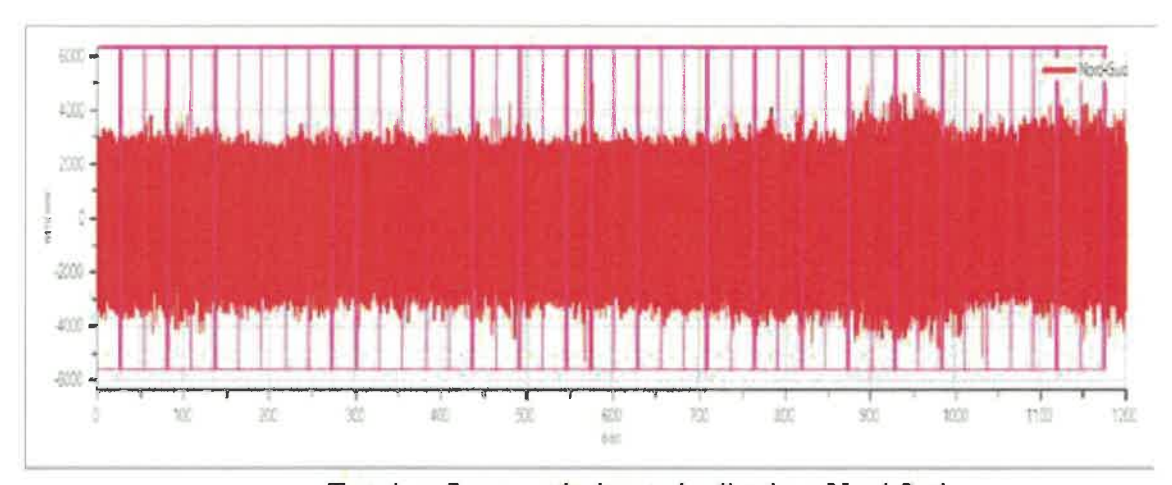
Percentuale di lisciamento: 10.00 %

Tabella finestre:

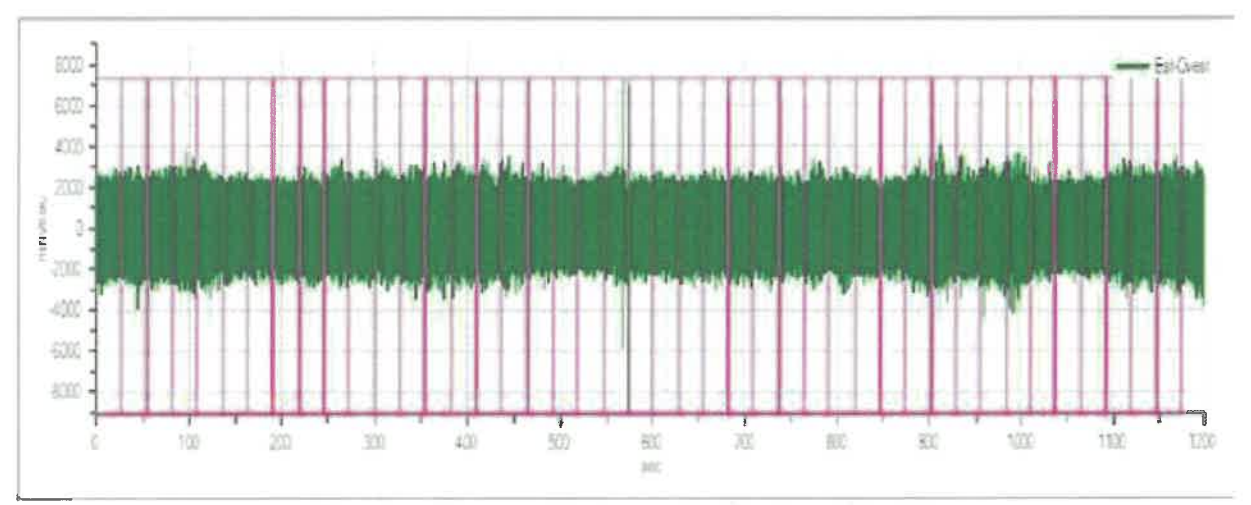
| Numero finestra | Istante iniziale | Istante finale | Selezione |
|--------------------|------------------|----------------|-----------|
| 1 | 0 | 27.307 | Inclusa |
| 2 | 27.307 | 54.613 | Inclusa |
| 3 | 54.613 | 81.92 | Inclusa |
| 4 | 81.92 | 109.227 | Inclusa |
| 5 | 109.227 | 136.533 | Inclusa |
| 6 | 136.533 | 163.84 | Inclusa |
| 7 | 163.84 | 191.147 | Inclusa |
| 8 | 191.147 | 218.453 | Inclusa |
| 9 | 218.453 | 245.76 | Inclusa |
| 10 | 245.76 | 273.067 | Inclusa |
| 11 | 273.067 | 300.373 | Inclusa |
| 12 | 300.373 | 327.68 | Inclusa |
| 13 | 327.68 | 354.987 | Inclusa |
| 14 | 354.987 | 382.293 | Inclusa |
| 15 | 382.293 | 409.6 | Inclusa |
| 16 | 409.6 | 436.907 | Inclusa |
| 17 | 436.907 | 464.213 | Inclusa |
| 18 | 464.213 | 491.52 | Inclusa |
| 19 | 491.52 | 518.827 | Inclusa |
| 20 | 518.827 | 546.133 | Inclusa |
| 21 | 546.133 | 573.44 | Inclusa |
| 22 | 573.44 | 600.747 | Inclusa |
| 23 | 600.747 | 628.053 | Inclusa |
| 24 | 628.053 | 655.36 | Inclusa |
| 25 | 655.36 | 682.667 | Inclusa |
| 26 | 682.667 | 709.973 | Inclusa |
| 27 | 709.973 | 737.28 | Inclusa |
| 28 | 737.28 | 764.587 | Inclusa |

| 29 | 764.587 | 791.893 | Inclusa |
|----|----------|----------|---------|
| 30 | 791.893 | 819.2 | Inclusa |
| 31 | 819.2 | 846.507 | Inclusa |
| 32 | 846.507 | 873.813 | Inclusa |
| 33 | 873.813 | 901.12 | Inclusa |
| 34 | 901.12 | 928.427 | Inclusa |
| 35 | 928.427 | 955.733 | Inclusa |
| 36 | 955.733 | 983.04 | Inclusa |
| 37 | 983.04 | 1010.347 | Inclusa |
| 38 | 1010.347 | 1037.653 | Inclusa |
| 39 | 1037.653 | 1064.96 | Inclusa |
| 40 | 1064.96 | 1092.267 | Inclusa |
| 41 | 1092.267 | 1119.573 | Inclusa |
| 42 | 1119.573 | 1146.88 | Inclusa |
| 43 | 1146.88 | 1174.187 | Inclusa |

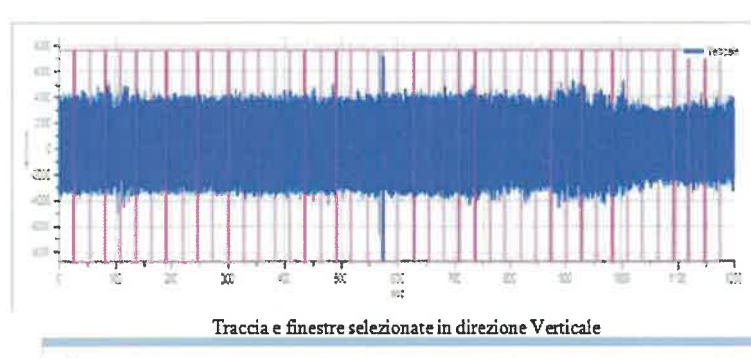
Grafici tracce con finestre selezionate:



Traccia e finestre selezionate in direzione Nord-Sud

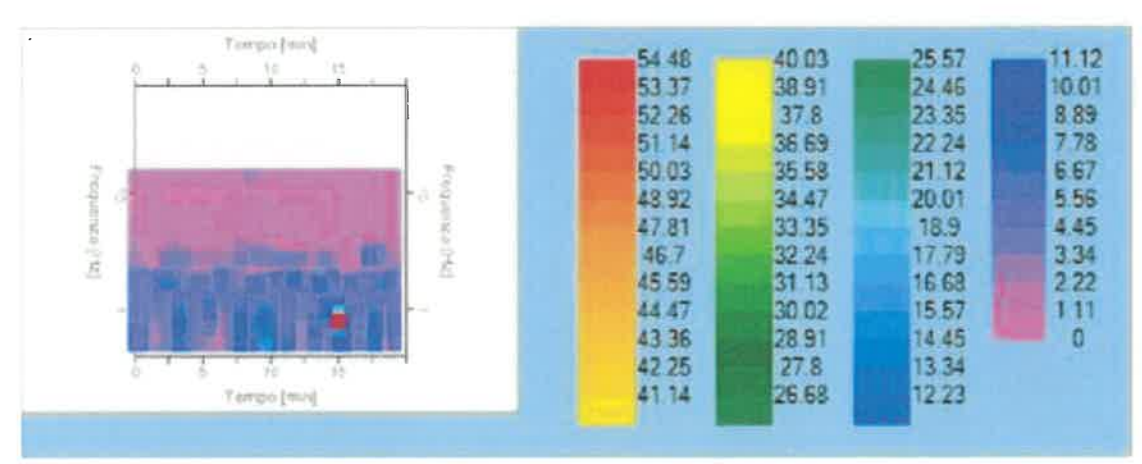


Traccia e finestre selezionate in direzione Est-Ovest



Traccia e finestre selezionate in direzione Verticale

Grafici degli spettri Spettri medi nelle tre direzioni



Mappa della stazionarietà degli spettri

Rapporto spettrale H/V

Dati riepilogativi:

Frequenza massima: 15.00 Hz

Frequenza minima: 0.50 Hz

Passo frequenze: 0.15 Hz

Tipo lisciamento:: Triagolare proporzionale

Percentuale di lisciamento: 10.00 %

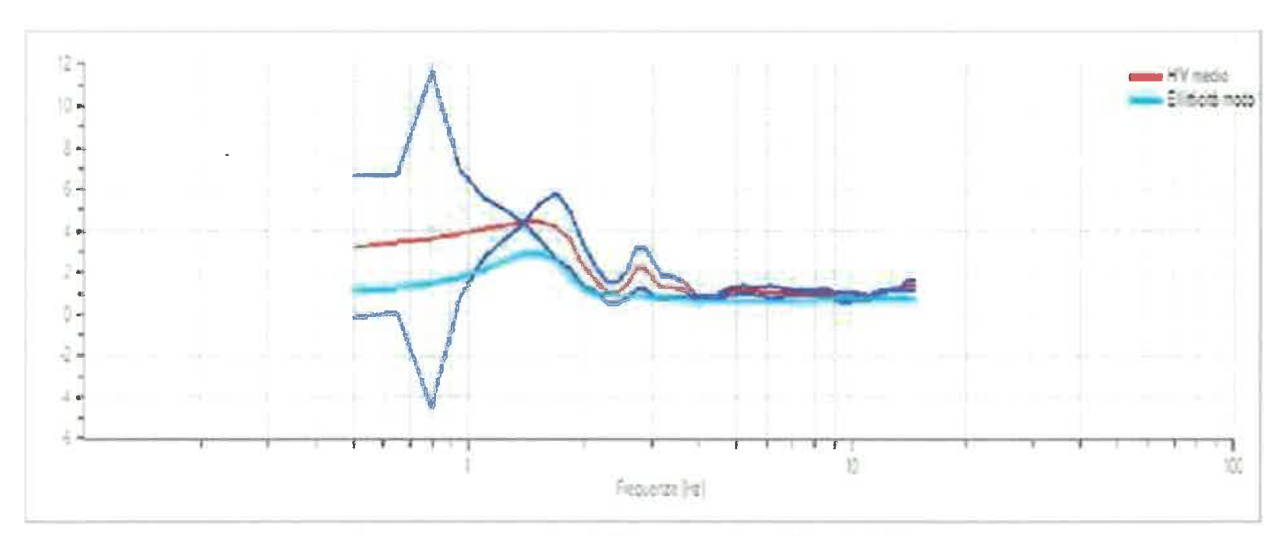
Tipo di somma direzionale: Media aritmetica

Risultati:

Frequenza del picco del rapporto H/V: 1.55 Hz ±0.21 Hz

Entrambi le indagine sismiche non indicano zona di forte impedenza, il valore di H/V nei primi 30m è sempre basso e privo di picchi rilevanti. L'indagine posiziona un contrasto medio-forte alla profondità di circa68m.

Grafico rapporto spettrale H/V



Rapporto spettrale H/V e suo intevallo di fiducia

Modello stratigrafico con indagine HVSR

Dati riepilogativi:

Numero strati:

3

Frequenza del picco

dell'ellitticità: 1.55 Hz

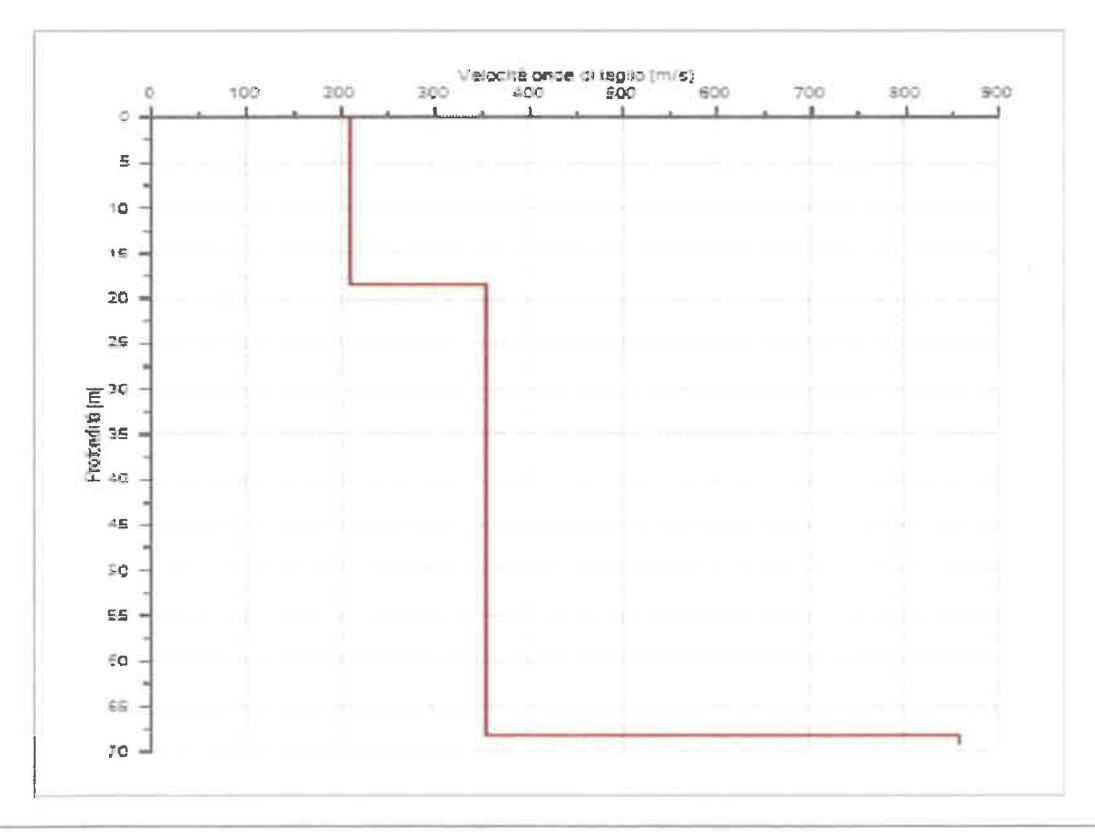
Valore di disadattamento: 0.20

Valore Vs30:

248.55 m/s

Dati della stratigrafia:

| Strato | Profondit à [m] | Spesso re [m] | Peso per Unità di Vol. | Coeff. di Poisson | |
|--------|--------------------|------------------|------------------------------|----------------------|-----|
| 1 | 0 | 18.51 | 18 | 0.3 | 210 |
| 2 | 18.51 | 49.78 | 18 | 0.3 | 354 |
| 3 | 68.29 | 1 | 18 | 0.3 | 859 |



PERICOLOSITÀ SISMICA DI BASE



| Vita nominale (Vn): | 50 | [anni] |
|------------------------------|-----|--------|
| Classe d'uso: | II | |
| Coefficiente d'uso (Cu): | 1 | |
| Periodo di riferimento (Vr): | 50 | [anni] |
| Periodo di ritorno (Tr) SLO: | 30 | [anni] |
| Periodo di ritorno (Tr) SLD: | 50 | [anni] |
| Periodo di ritorno (Tr) SLV: | 475 | [anni] |
| Periodo di ritorno (Tr) SLC: | 975 | [anni] |
| | | |

PERICOLOSITÀ SISMICA DI SITO

Coefficiente di smorzamento viscoso ξ :

5 %

Fattore di alterazione dello spettro elastico $\eta = [10/(5+)\xi]^{(1/2)}$:

1,000

Categoria sottosuolo:

C: Depositi di terreni a grana grossa mediamente addensati o terreni a grana fina mediamente consistenti, con spessori superiori a 30 m, caratterizzati da un graduale miglioramento delle proprietà meccaniche con la profondità e da valori di Vs,30 compresi tra 180 m/s e 360 m/s (ovvero NSPT30 compreso tra 15 e 50 nei terreni a grana grossa cu30 compreso tra 70 e 250 kPa nei terreni a grana fina).

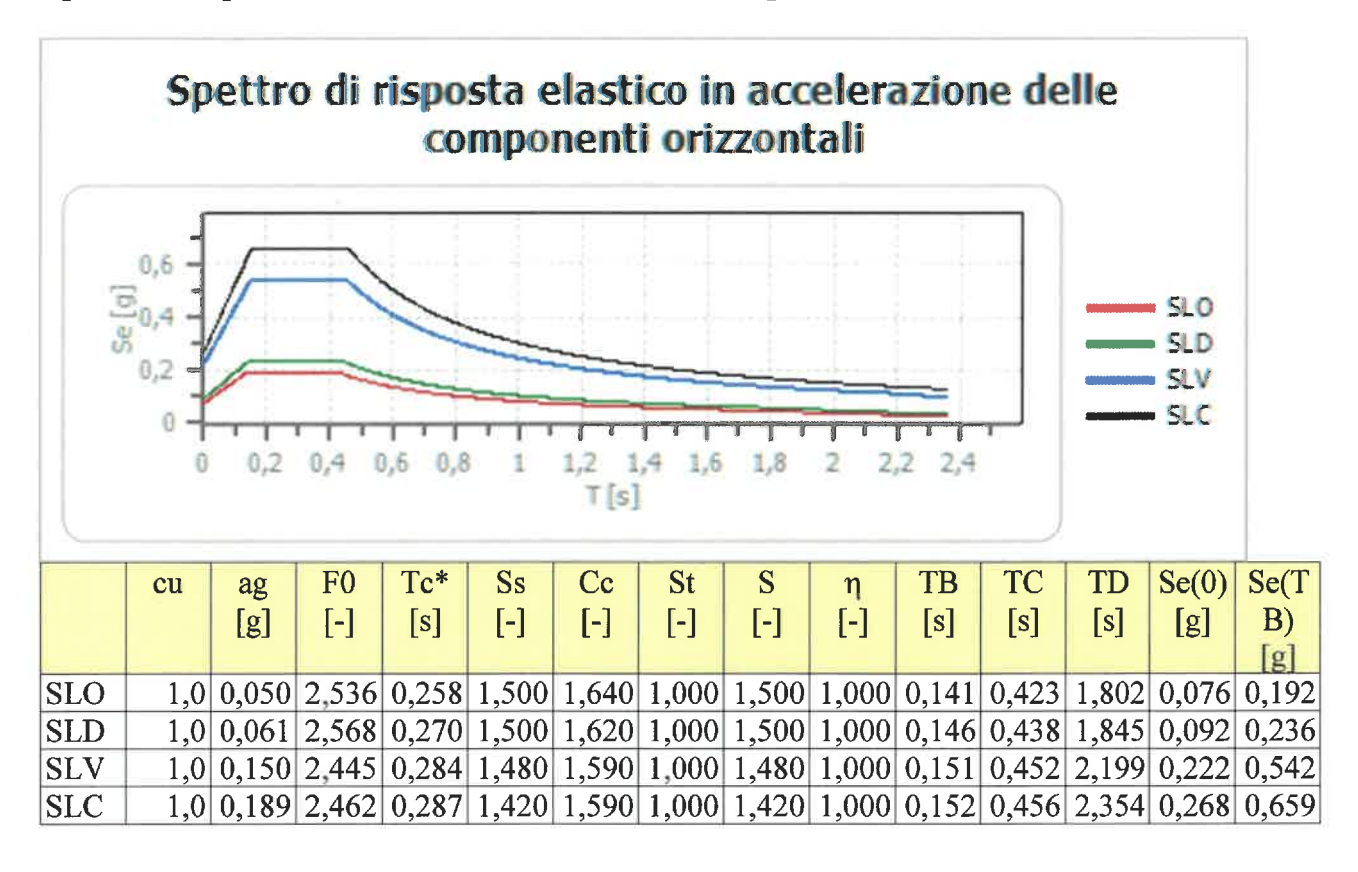
Categoria topografica:

T1: Superficie pianeggiante, pendii e rilievi isolati con inclinazione media minore o uguale a 15°

Coefficienti sismici stabilità di pendii e fondazioni

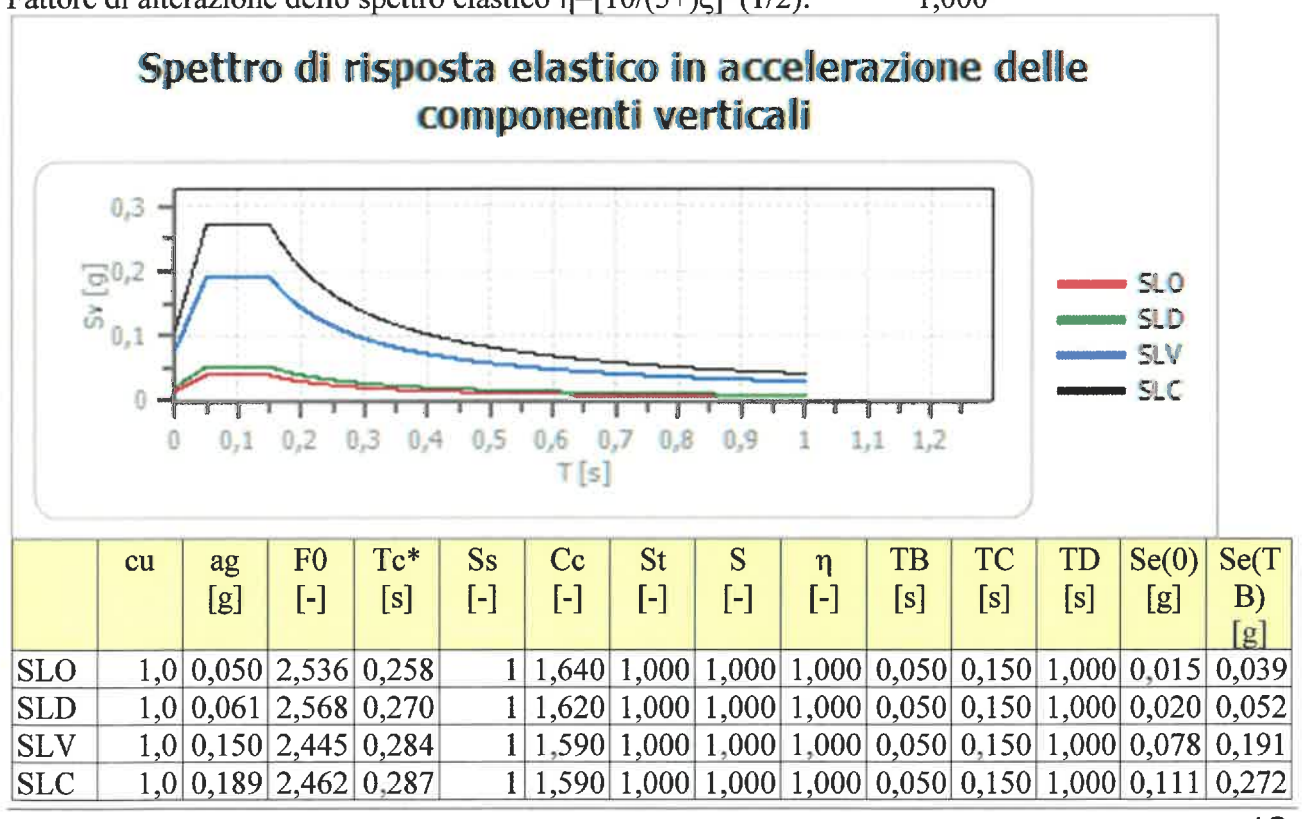
| Coefficienti | SLO | SLD | SLV | SLC |
|--------------------------|-------|-------|-------|-------|
| kh | 0,015 | 0,018 | 0,053 | 0,064 |
| kv | 0,008 | 0,009 | 0,027 | 0,032 |
| amax [m/s ²] | 0,742 | 0,900 | 2,173 | 2,626 |
| Beta | 0,200 | 0,200 | 0,240 | 0,240 |

Spettro di risposta elastico in accelerazione delle componenti orizzontali



Spettro di risposta elastico in accelerazione delle componenti verticali

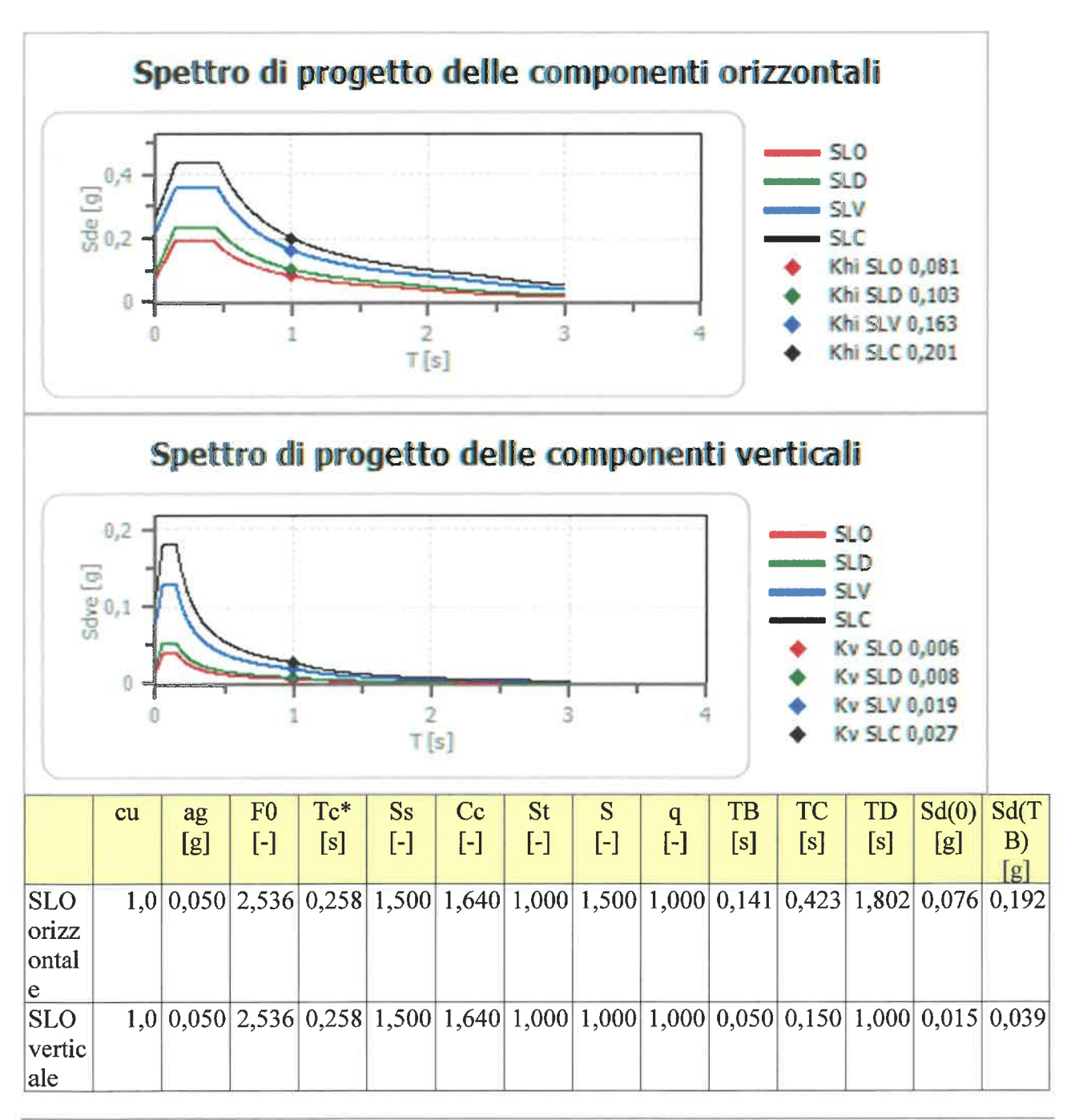
Coefficiente di smorzamento viscoso ξ : 5 % Fattore di alterazione dello spettro elastico $\eta = [10/(5+)\xi]^{(1/2)}$: 1,000



Spettro di progetto

Fattore di struttura spettro orizzontale q: 1,50
Fattore di struttura spettro verticale q: 1,50
Periodo fondamentale T: 1,00 [s]

| | SLO | SLD | SLV | SLC |
|-----------------|-------|-------|-------|-------|
| khi = Sde(T) | 0,081 | 0,103 | 0,163 | 0,201 |
| Orizzontale [g] | | | | |
| kv = Sdve(T) | 0,006 | 0,008 | 0,019 | 0,027 |
| Verticale [g] | | | | |



| SLD | 1.0 | 0.061 | 2,568 | 0.270 | 1.500 | 1.620 | 1.000 | 1.500 | 1.000 | 0.146 | 0.438 | 1.845 | 0.092 | 0.236 |
|--------|-----|-------|-------|-------|-------|-------|-------|-------|-------|-------|-------|--------|-------|-------|
| orizz | 1,0 | 0,001 | 2,500 | 0,270 | 1,500 | 1,020 | 1,000 | 1,500 | 1,000 | 0,110 | 0,150 | 1,0 10 | 0,072 | 0,200 |
| ontal | | | | | | | | | | | | | | |
| e | | | | | | | | | | | | | | |
| SLD | 1,0 | 0,061 | 2,568 | 0,270 | 1,500 | 1,620 | 1,000 | 1,000 | 1,000 | 0,050 | 0,150 | 1,000 | 0,020 | 0,052 |
| vertic | | | | | | | | | | | | | | |
| ale | | | | | | | | | | | | | | |
| SLV | 1,0 | 0,150 | 2,445 | 0,284 | 1,480 | 1,590 | 1,000 | 1,480 | 1,500 | 0,151 | 0,452 | 2,199 | 0,222 | 0,361 |
| orizz | | | | | | | | | | | | | | |
| ontal | | | | | | | | | | | | | | |
| e | | | | | | | | | | | | | | |
| SLV | 1,0 | 0,150 | 2,445 | 0,284 | 1,480 | 1,590 | 1,000 | 1,000 | 1,500 | 0,050 | 0,150 | 1,000 | 0,078 | 0,128 |
| vertic | | | | | | | | | | | | | | |
| ale | | | | | | | | | | | | | | |
| SLC | 1,0 | 0,189 | 2,462 | 0,287 | 1,420 | 1,590 | 1,000 | 1,420 | 1,500 | 0,152 | 0,456 | 2,354 | 0,268 | 0,440 |
| orizz | | | | | | | | | | | | | | |
| ontal | | | | | | | | | | | | | | |
| e | | | | | | | | | | | | | | |
| SLC | 1,0 | 0,189 | 2,462 | 0,287 | 1,420 | 1,590 | 1,000 | 1,000 | 1,500 | 0,050 | 0,150 | 1,000 | 0,111 | 0,181 |
| vertic | | | | | | | | | | | | | | |
| ale | | | | | | | | | | | | | | |

10 - ANALISI CARTOGRAFICA

10.1 - CARTA GEOLOGICA

L'area risulta coperta da cartografia geologica regionale alla scala 1:10.000, è stata utilizzata come base dello studio geologico tale elaborazione.

L'area in esame è posta in una zona caratterizzata dalla presenza di depositi prevalentemente sabbiosi e sabbioso argillosi con trovanti calcarei e marnosi.

10.2 - CARTA GEOMORFOLOGICA

E' stato tenuto conto di eventuali e specifici indirizzi tecnici dettati dalla pianificazione di bacino, sono analizzati le forme ed i processi geomorfologici legati alla dinamica di versante ed alla dinamica fluviale valutandone il relativo stato di attività:

- attivo (qualora siano presenti evidenze morfologiche di movimento che, non avendo esaurito la loro evoluzione, possono considerarsi recenti, riattivabili nel breve periodo con frequenza e/o con carattere stagionale);
- quiescente (qualora siano presenti evidenze morfologiche che, non avendo esaurito la loro evoluzione, hanno la possibilità di riattivarsi);

- inattivo (qualora gli elementi morfologici siano riconducibili a condizioni morfoclimatiche diverse dalle attuali o non presentino condizioni di riattivazione o di evoluzione).

Nelle zone di versante sono stati in particolare approfonditi gli aspetti relativi ai fenomeni franosi.

Per ogni frana, nel seguente studio non sono presenti, è stata evidenziata la zona di distacco, la zona di scorrimento (visibile o ipotizzata) e la zona di accumulo (se presente).

Nelle zone di pianura sono in particolare approfonditi gli aspetti legati alle forme di erosione e di accumulo fluviale, lacustre, marino, eolico.

Per quanto riguarda l'ambiente fluviale, sono evidenziati anche gli elementi antropici quali le opere di difesa idraulica, in quanto elementi in interazione diretta con la dinamica d'alveo.

In particolare è stato considerato per i movimenti morfologici: per le frane a cinematica lenta come gli scorrimenti, gli scorrimenti-colata e le colate lente, le aree di possibile evoluzione possono essere generalmente limitate alle immediate vicinanze delle frane stesse.

Per le frane a cinematica veloce (crolli, cadute massi, ribaltamenti, scivolamenti in roccia) le aree di possibile evoluzione possono comprendere le pareti rocciose o i tratti di versanti molto acclivi e le sottostanti aree di accumulo di detrito (coni detritici).

Per le frane a cinematica rapida (colate di detrito o di terra) le aree di possibile evoluzione possono coincidere con gli impluvi di ordine inferiore.

Per tutti i comuni classificati sismici, ad esclusione di quelli in zona 4, i dati esistenti devono consentire una caratterizzazione geomorfologica finalizzata alla redazione di studi e cartografie di MS livello 1, così come definite nelle ICMS e dalle specifiche tecniche di cui all'o.d.p.c.m. 3907/2010.

L'area in esame non risulta essere caratterizzata da particolari problematiche geomorfologiche.

10.3 - CARTA PERICOLOSITÀ IDRAULICA

La cartografia è stata definita secondo quanto previsto dalla normativa vigente, in particolare sono stati indicati 4 livelli di pericolosità, la seguente definizione è stata ricavata basandosi sulle carte della pericolosità idraulica del Piano Strutturale.

Pericolosità idraulica molto elevata (I.4): aree interessate da allagamenti per eventi con Tr<30 anni.

Pericolosità idraulica elevata (I.3): aree interessate da allagamenti per eventi compresi tra 30<Tr<200 anni.

Pericolosità idraulica media (I.2): aree interessate da allagamenti per eventi compresi tra 200<Tr<500anni.

Pericolosità idraulica bassa (I.1): aree collinari o montane prossime ai corsi d'acqua per le quali ricorrono le seguenti condizioni:

- a) non vi sono notizie storiche di inondazioni
- b) sono in situazioni favorevoli di alto morfologico, di norma a quote altimetriche superiori a metri 2 rispetto al piede esterno dell'argine o, in mancanza, al ciglio di sponda.

L'area in esame non risulta soggetta a rischio idraulico (P.I.1)

10.4 – CARTA PERICOLOSITÀ GEOLOGICA

La cartografia è stata definita secondo quanto previsto dalla normativa vigente, in particolare sono stati indicati 4 livelli di pericolosità:

Pericolosità geologica molto elevata (G.4): aree in cui sono presenti fenomeni attivi e relative aree di influenza, aree interessate da soliflussi.

Pericolosità geologica elevata (G.3): aree in cui sono presenti fenomeni quiescenti; aree con potenziale instabilità connessa alla giacitura, all'acclività, alla litologia, alla presenza di acque superficiali e sotterranee, nonché a processi di degrado di carattere antropico; aree interessate da intensi fenomeni erosivi e da subsidenza; aree caratterizzate da terreni con scadenti caratteristiche geotecniche; corpi detritici su versanti con pendenze superiori al 25%.

Pericolosità geologica media (G.2): aree in cui sono presenti fenomeni franosi inattivi e stabilizzati (naturalmente o artificialmente); aree con elementi geomorfologici, litologici e giaciturali dalla cui valutazione risulta una bassa propensione al dissesto; corpi detritici su versanti con pendenze inferiori al 25%.

Pericolosità geologica bassa (G.1): aree in cui i processi geomorfologici e le caratteristiche litologiche, giaciturali non costituiscono fattori predisponenti al verificarsi di processi morfoevolutivi.

L'area in esame, tenendo presente il rilevamento eseguito, non risulta essere direttamente affetta da problematiche di carattere geologico, la relativa pericolosità risulta essere G2.

10.5 - EFFETTI SISMICI

Gli elementi prioritari da evidenziare per la valutazione degli effetti locali e di sito in relazione all'obiettivo della riduzione del rischio sismico, sono quelli utili alle successive fasi di caratterizzazione sismica

dei terreni e di parametrizzazione dinamica riferite alla realizzazione o verifica dell'edificato. A tal fine, oltre all'acquisizione di ogni informazione esistente finalizzata alla conoscenza del territorio sotto il profilo geologico e geomorfologico, risulta indispensabile acquisire tutti gli elementi per una ricostruzione e successiva rappresentazione del modello geologico-tecnico di sottosuolo, sia in termini di geometrie sepolte e di spessori delle litologie presenti, sia in termini di parametrizzazione dinamica del terreno principalmente in relazione alla misura diretta delle Vsh (velocità di propagazione delle onde di taglio polarizzate orizzontalmente), secondo le modalità e i criteri meglio specificati nelle Istruzioni tecniche regionali del Programma VEL. I comuni interessati dal Programma VEL (comuni a maggior rischio sismico tra quelli classificati in zona 2), fanno riferimento alle conoscenze acquisite nell'ambito di tale progetto.

L'area in esame è formata da depositi continentali. Tali depositi in considerazione della granulometria eterogenea e dalle caratteristiche geotecniche non sono soggetti a fenomeni di liquefazione. In riferimento alle direttive del Programma VEL, i terreni in studio, sono da classificare come appartenenti ala zona 9. L'area risulta soggetta a fenomeni di cedimento differenziale.

10.6 -FREQUENZE FONDAMENTALI DEI DEPOSITI

è stato realizzato a partire dalle misure speditive di Tale elaborato, rumore ambientale mediante tecnica a stazione singola (HVSR sulle vibrazioni ambientali o se disponibili da registrazioni di terremoti). Per ogni prova è stato riportato nei capitoli precedenti lo spettro, il valore f0 del picco fondamentale e di eventuali picchi secondari. Per le modalità di realizzazione delle prove e la definizione delle classi di affidabilità dello studio per il controllo sulla qualità dei dati acquisiti si fa riferimento allo studio redatto da: "Albarello et alii - Tecniche sismiche passive: indagini a stazione singola". Sulla scorta delle misure di frequenza effettuate, è stata realizzata la cartografia della distribuzione delle frequenze naturali dei terreni. Nella cartografia, è stata riportata l'ubicazione di tutti i punti con i valori della frequenza fondamentale (fo), è stato suddiviso il territorio in base a classi di frequenza allo scopo di distinguere qualitativamente aree caratterizzate da assenza di fenomeni di risonanza significativi (per esempio con nessun massimo relativo significativo di fo nell'intervallo 0,1-10Hz) da aree caratterizzate dalla presenza di fenomeni di risonanza, distinguendo almeno tra spessori attesi compresi tra 30 e (indicativamente 2Hz<fo..8Hz) e spessori minori di 10m (indicativamente con fo >8). Inoltre, sulla base della stima

dell'ampiezza del picco fondamentale, è stato distinto, in via del tutto qualitativa, le zone caratterizzate da alti contrasti di impedenza ad aree caratterizzate da un minore contrasto.

Il picco massimo è stato rilevato ala frequenza di 1,55Hz; nei primi 30m sono presenti picchi minori con H/V sempre inferiore a 2.

10.7 - CARTA DELLA PERICOLOSITÀ SISMICA LOCALE

In generale, la sintesi di tutte le informazioni derivanti dallo studio di MS di livello 1, deve consentire di valutare le condizioni di pericolosità sismica dei centri urbani studiati secondo le seguenti graduazioni di pericolosità:

Pericolosità sismica locale molto elevata (S.4): zone suscettibili di instabilità di versante attiva che pertanto potrebbero subire una accentuazione dovuta ad effetti dinamici quali possono verificarsi in occasione di eventi sismici; terreni suscettibili di liquefazione dinamica in comuni classificati in zona sismica 2;

Pericolosità sismica locale elevata (S.3): zone suscettibili di instabilità di versante quiesciente che pertanto potrebbero subire una riattivazione dovuta ad effetti dinamici quali possono verificarsi in occasione di eventi sismici; zone con terreni di particolarmente scadenti che possono dar luogo a cedimenti diffusi; terreni suscettibili di liquefazione dinamica (per tutti i comuni tranne quelli classificati in zona sismica 2); zone di contatto tra litotipi con caratteristiche fisico-meccaniche significativamente diverse; interessate da deformazioni legate alla presenza di faglie attive e faglie capaci (faglie che potenzialmente possono creare deformazione in superficie); zone stabili suscettibili di amplificazioni locali caratterizzati da un alto contrasto di impedenza sismica atteso tra copertura e substrato rigido entro alcune decine di metri;

Pericolosità sismica locale media (S.2): zone suscettibili di instabilità di versante inattiva e che pertanto potrebbero subire una

riattivazione dovuta ad effetti dinamici quali possono verificarsi in occasione di eventi sismici; zone stabili suscettibili di amplificazioni locali (che non rientrano tra quelli previsti per la classe di pericolosità sismica S.3);

Pericolosità sismica locale bassa (S.1): zone stabili caratterizzate dalla presenza di litotipi assimilabili al substrato rigido in affioramento con morfologia pianeggiante o poco inclinata e dove non si ritengono probabili fenomeni di amplificazione o instabilità indotta dalla sollecitazione sismica.

In considerazione della carta delle MICROZONE OMOGENEE IN PROSPETTIVA SISMICA e alle indagini sismiche e geotecniche eseguite è possibile affermare che la pericolosità sismica locale è pari a 2 (P.S.2), tale classe deriva dal fatto di non aver rilevato con le indagini sismiche alti contrasti di impedenza (H/V superiore a 3) nei primi 30 m dal p.c.

10.8 – CARTA DELLA FATTIBILITÀ

Le condizioni di attuazione delle previsioni urbanistiche ed infrastrutturali sono differenziate secondo le seguenti categorie di fattibilità:

Fattibilità senza particolari limitazioni (F1): si riferisce alle previsioni urbanistiche ed infrastrutturali per le quali non sono necessarie prescrizioni specifiche ai fini della valida formazione del titolo abilitativo all'attività edilizia.

Fattibilità con normali vincoli (F2): si riferisce alle previsioni urbanistiche ed infrastrutturali per le quali è necessario indicare la tipologia di indagini e/o specifiche prescrizioni ai fini della valida formazione del titolo abilitativo all'attività edilizia.

Fattibilità condizionata (F3): si riferisce alle previsioni urbanistiche ed infrastrutturali per le quali, ai fini della individuazione delle condizioni di compatibilità degli interventi con le situazioni di pericolosità riscontrate, è necessario definire la tipologia degli approfondimenti di indagine da svolgersi in sede di predisposizione dei piani complessi di intervento o dei piani attuativi o, in loro assenza, in sede di predisposizione dei progetti edilizi.

Fattibilità limitata (F4): si riferisce alle previsioni urbanistiche ed infrastrutturali la cui attuazione è subordinata alla realizzazione di interventi di messa in sicurezza che vanno individuati e definiti in sede di redazione del medesimo regolamento urbanistico, sulla base di studi, dati da attività di monitoraggio e verifiche atte a determinare gli elementi di base utili per la predisposizione della relativa progettazione.

In considerazione dei livelli di pericolosità accertati si definiscono le seguenti fattibilità suddivise per problematiche:

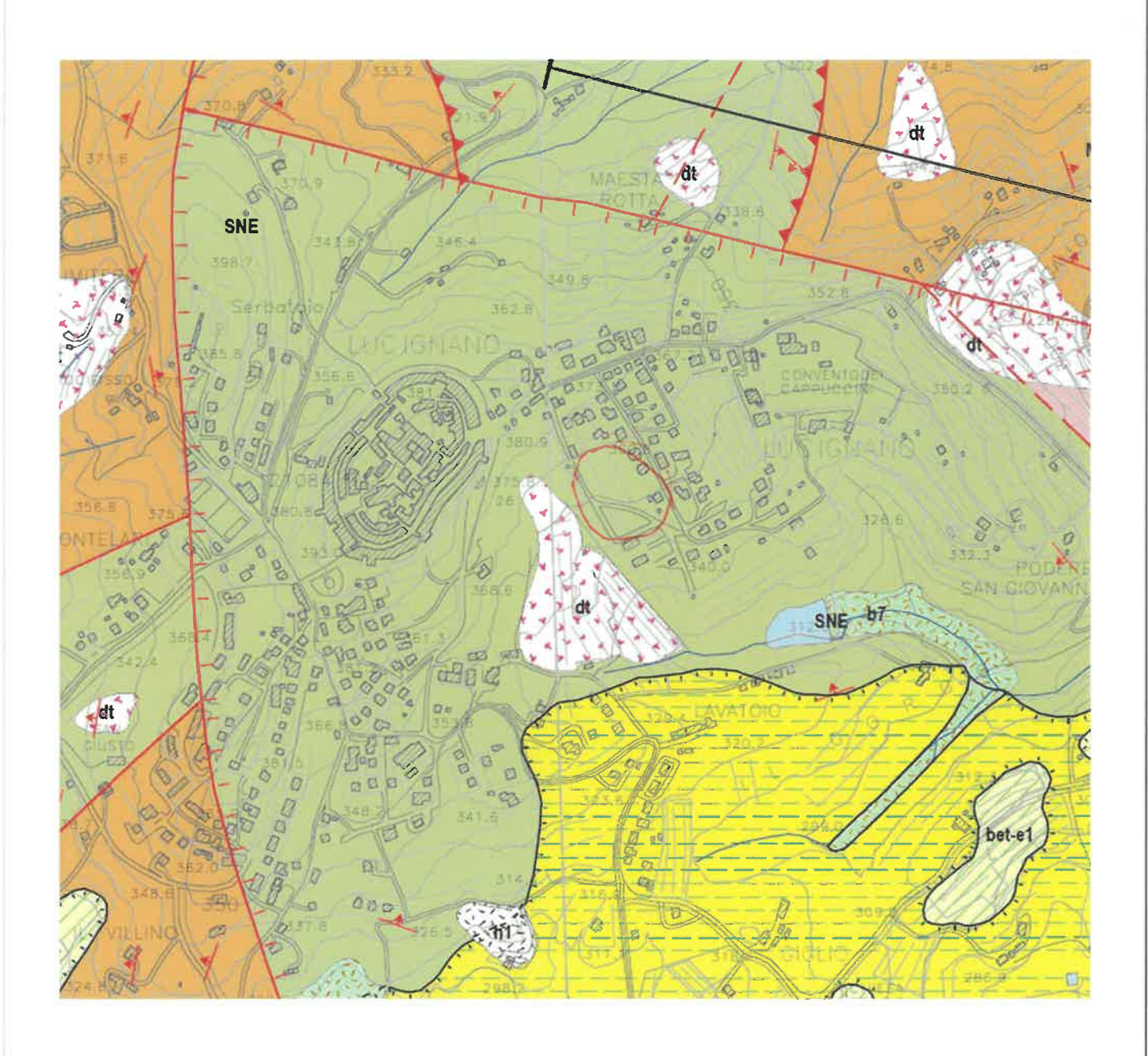
| | GEOLOGICA | SISMICA | IDRAULICA |
|--------------------------|-----------|---------|-----------|
| REALIZZAZIONE FABBRICATO | 11 | 11 | I |

L'intervento risulta essere geologicamente fattibile

Prima di eseguire l'indagine geotecnica, di supporto alla strutturista, dovranno essere eseguite indagine di dettaglio in sito

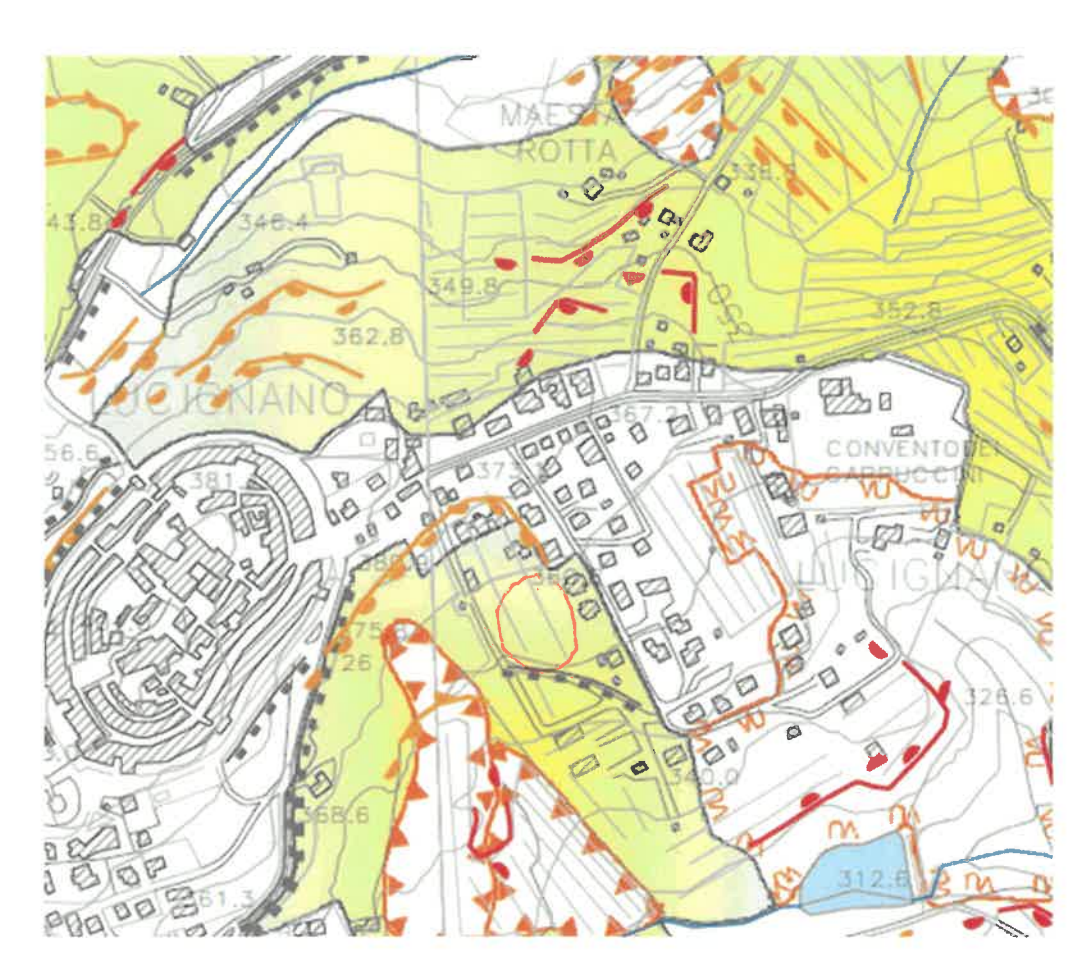
ALLEGATI

CARTA GEOLOGICA



SNE Calcari e brecciole di Monte Senario

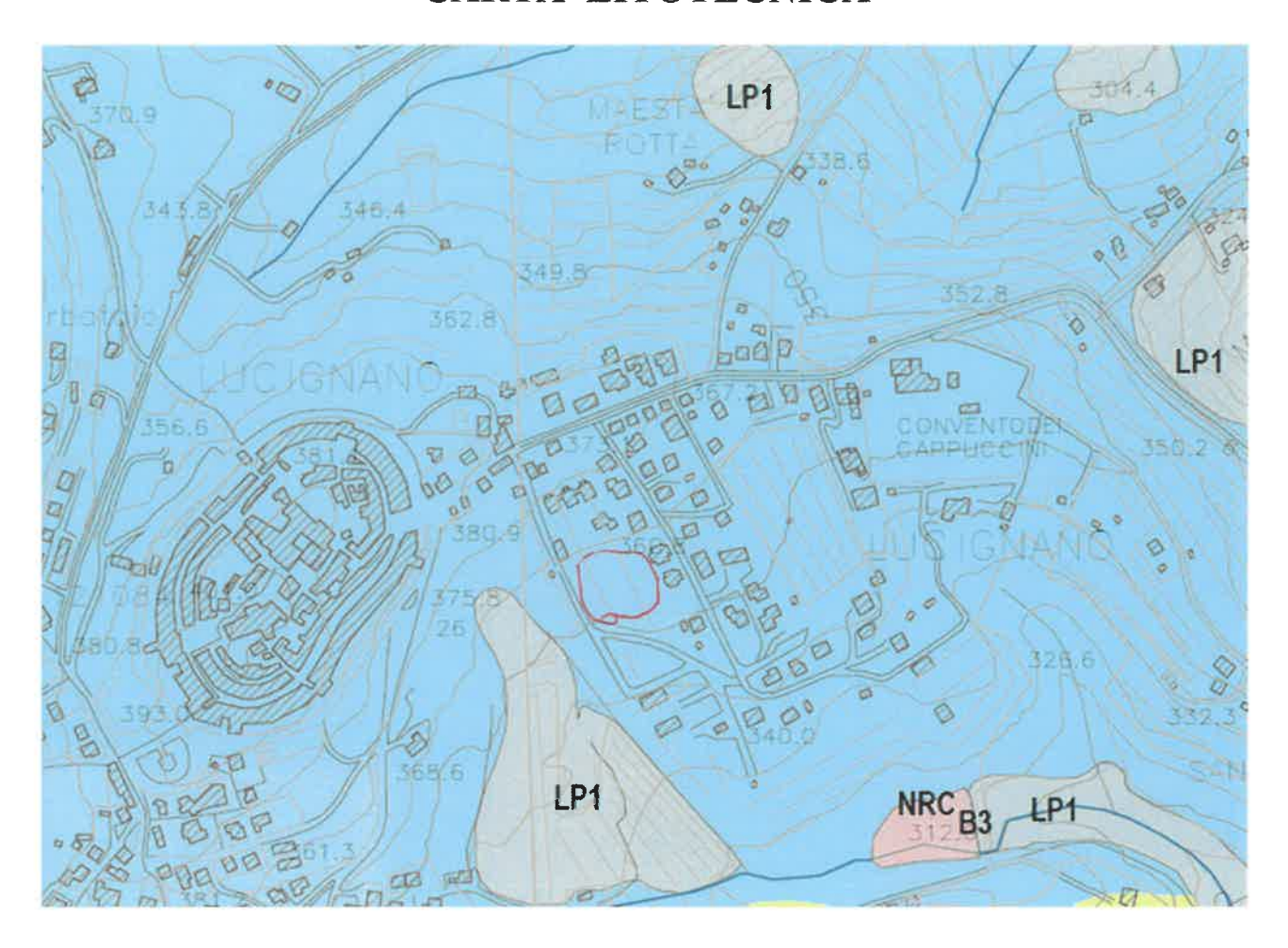
CARTA GEOMORFOLOGICA



FENOMENI FRANOSI

| ¥0 V0≤ | Area soggetta a frana superficiale diffusa, Attiva |
|--------|--|
| NO VUE | Area soggetta a frana superficiale diffusa, Quiescente |
| 200 | Frana di colamento lento, Attiva |
| 200 | Frana di colamento lento, Quiescente |
| AC S | Frana di scivolamento roto-traslativo, Attiva |
| | Frana di scivolamento roto-traslativo, Quiescente |
| a.c | Frana di scivolamento roto-traslativo, Stabilizzata |

CARTA LITOTECNICA



Rocce stratificate e/o costituite da alternanze di litotipi diversi, con arenaria/pelite>75%

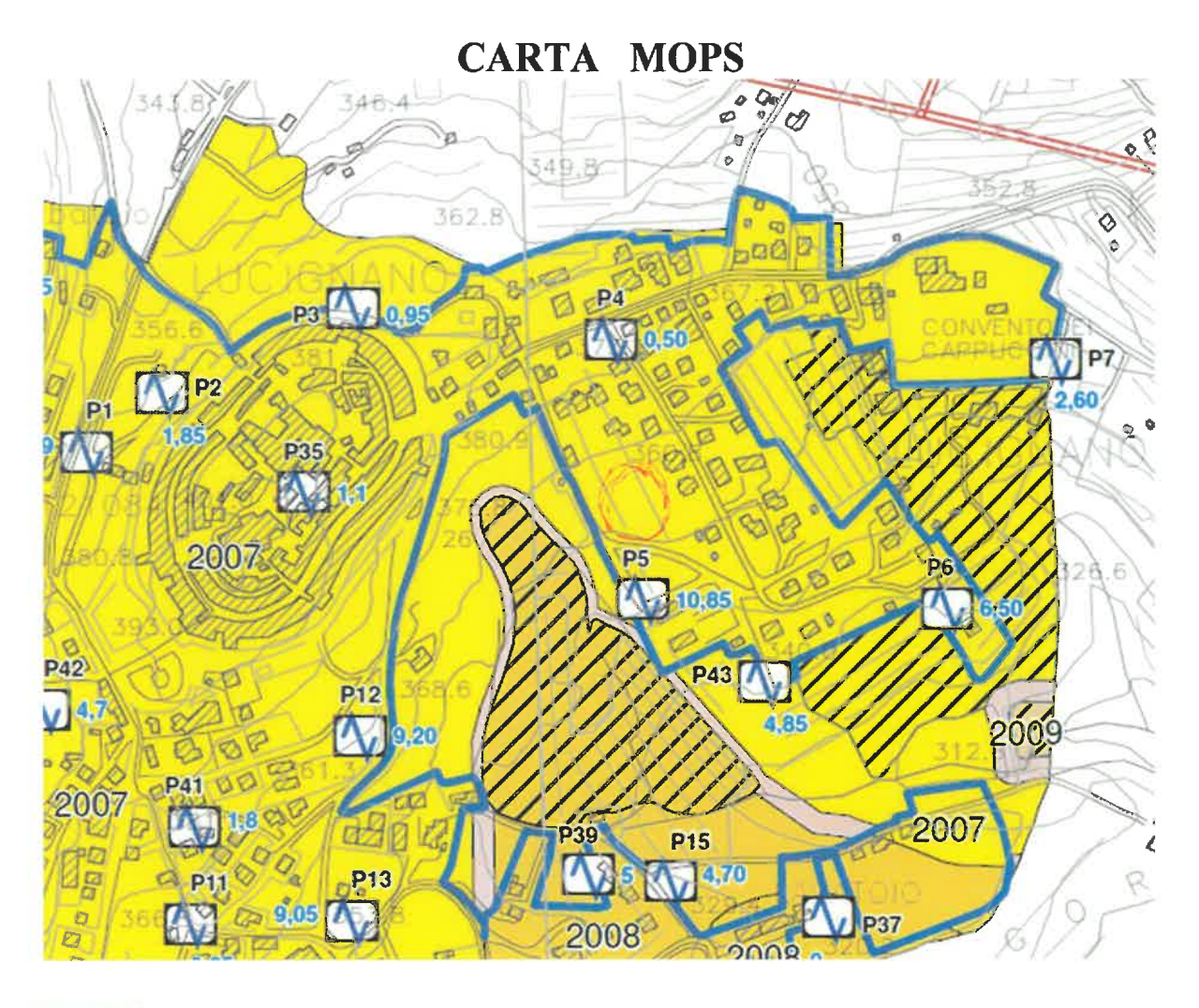
B3

PERICOLOSITA' IDROGEOLOGICA



Classe F - Permeabilità media
Macigno, calcari e brecciole di Monte Senario, arenarie di Monte Senario

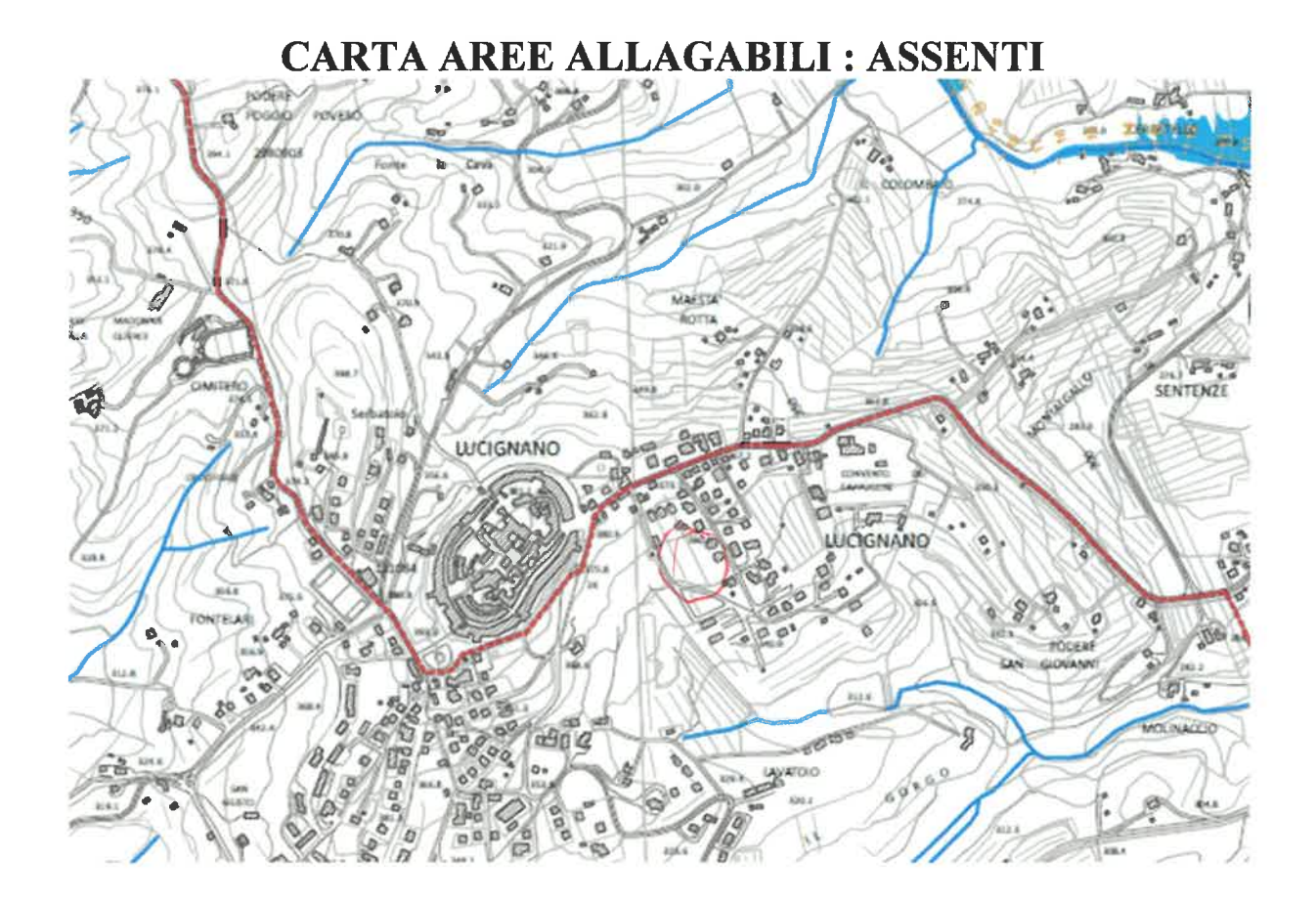
Cell. 335 7359880 Geol. Pietro Manini



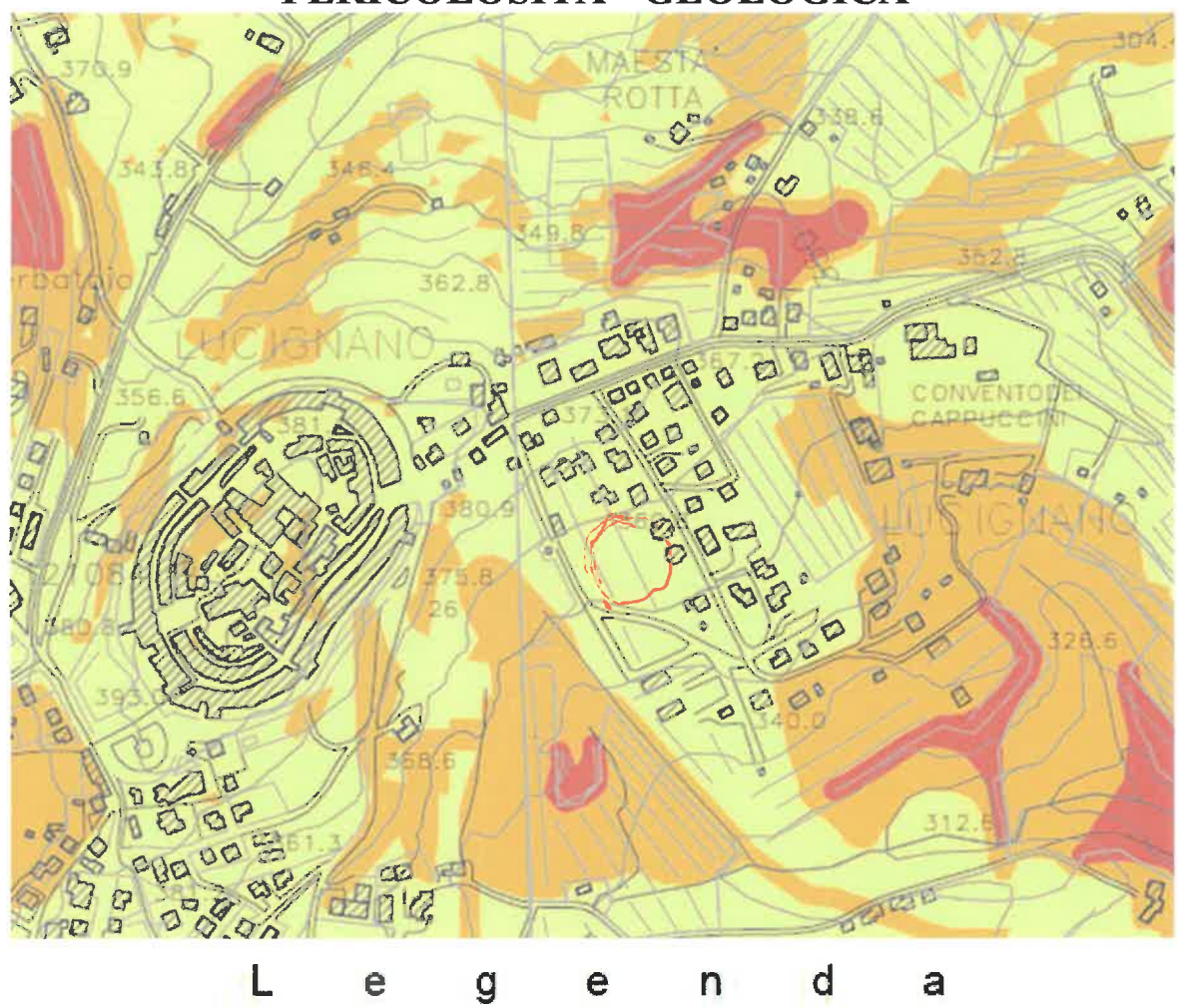


ZA_{FR_Q} Zona di attenzione per instabilità di versante quiescente

| Zone stabili suscettibili di amplificazioni local | | | | | | | |
|---|--------|------|-----------|--|--|--|--|
| 2001 | Zona 1 | 2009 | Zona 9 | | | | |
| 2002 | Zona 2 | 2010 | Zona 10 | | | | |
| 2003 | Zona 3 | 2099 | Zona 2099 | | | | |
| 2004 | Zona 4 | | | | | | |
| 2005 | Zona 5 | | | | | | |
| 2006 | Zona 6 | | | | | | |
| 2007 | Zona 7 | | | | | | |
| 2008 | Zona 8 | | | | | | |

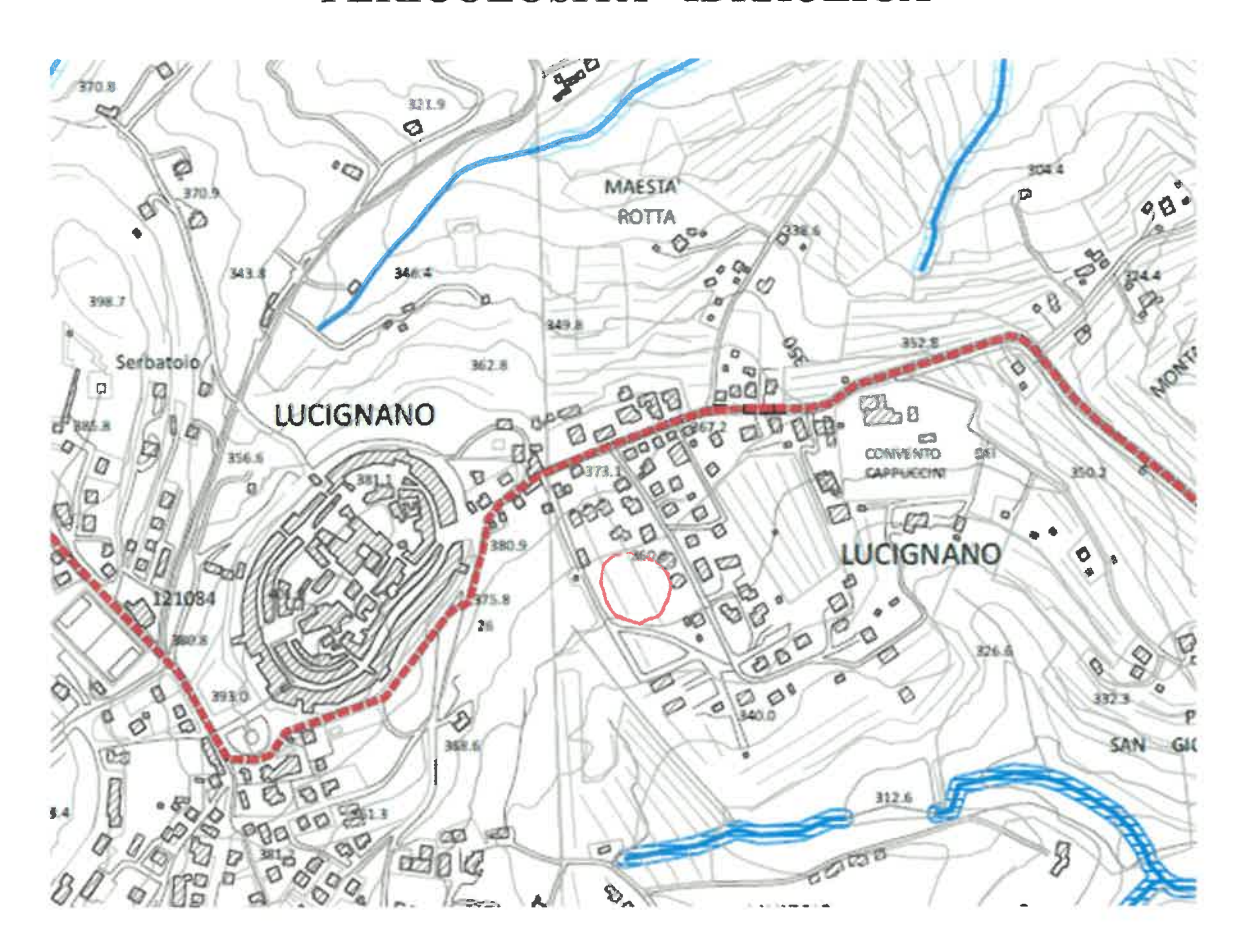


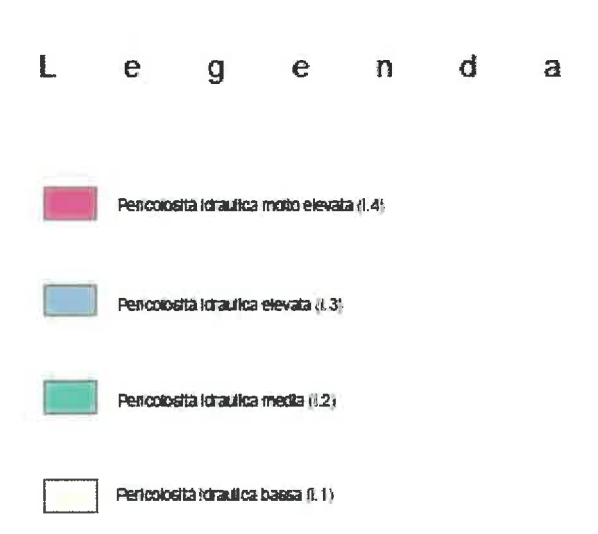
PERICOLOSITA' GEOLOGICA



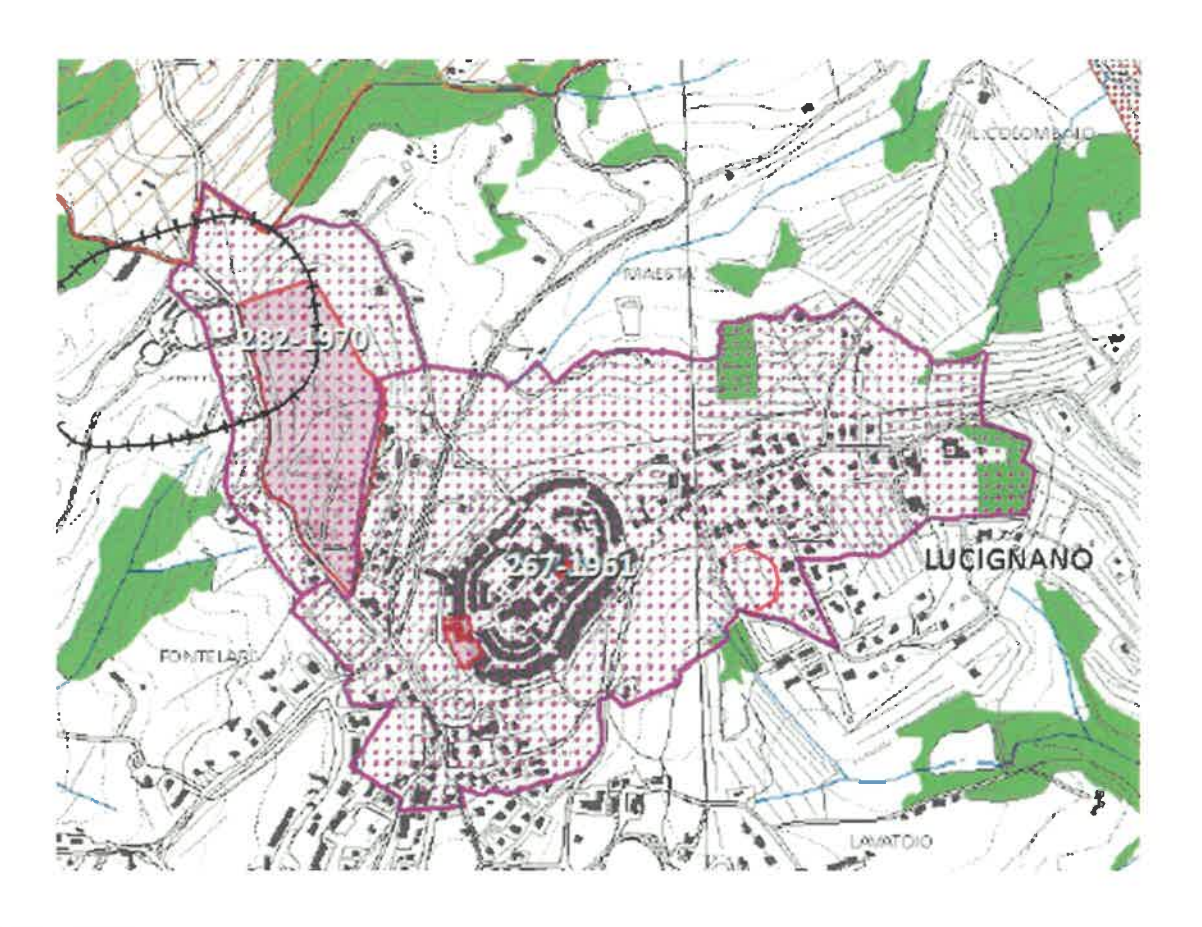
- Pericolosità geomorfologica molto elevata (G.4)
- Pericolosità geomorfologica elevata (G.3)
- Pericolosità geomorfologica media (G.2)
- Pericolosità geomorfologica bassa (G.1)

PERICOLOSITA' IDRAULICA





PERICOLOSITA' SISMICA

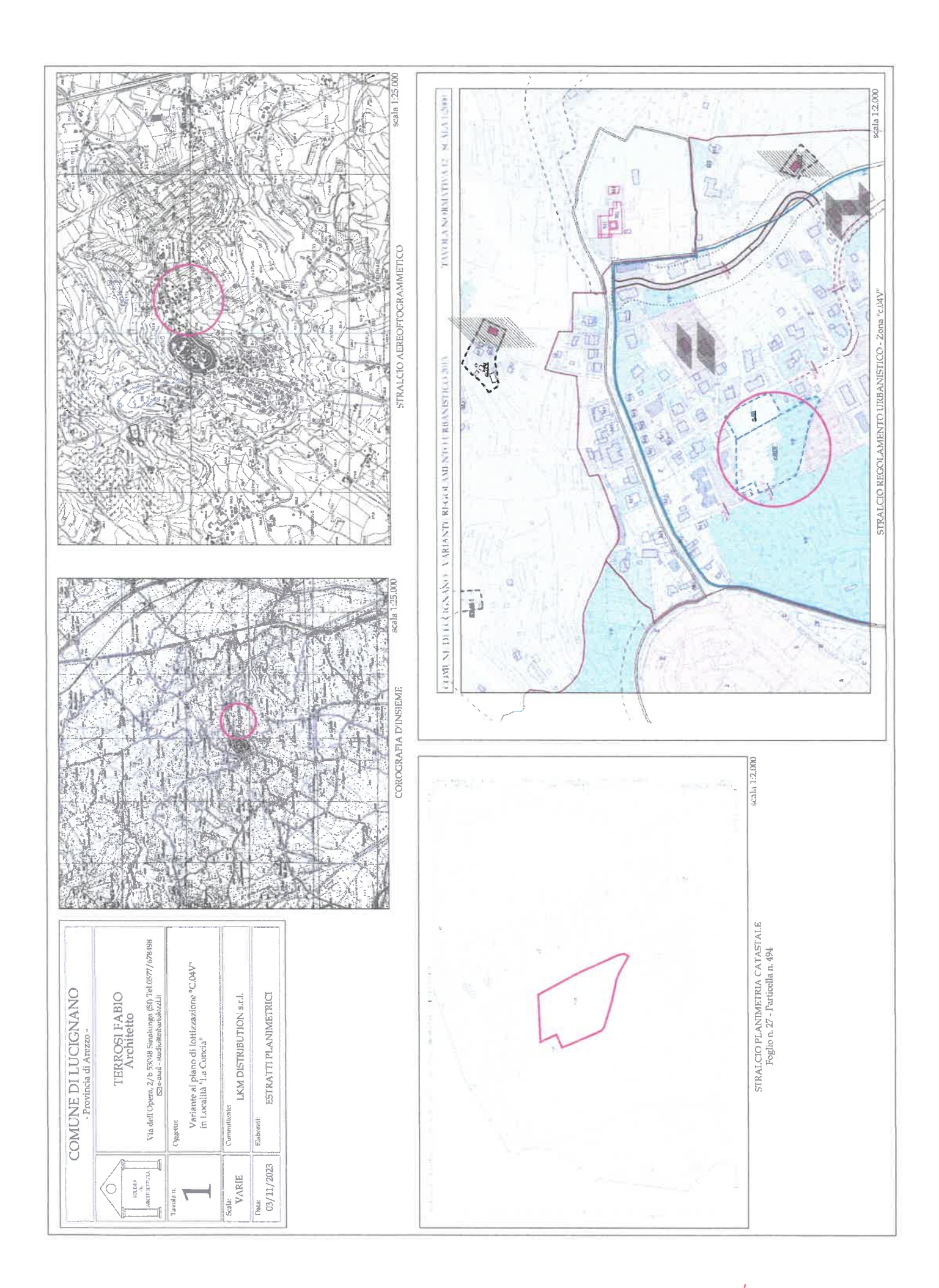




Beni paesaggistici architettonici tutelati (D. Lgs. 42/2004, art. 136)

FATTIBILITA' GEOLOGICA VARIANTE LOTTIZZAZIONE

| | | NTERVENTO | |
|--------------------------|-----------|-----------|-----------|
| | GEOLOGICA | SISMICA | IDRAULICA |
| REALIZZAZIONE FABBRICATI | II | II | ı |
| | | | |
| VABILITA' | 11 | II | Ī |



PROVA PENETROMETRICA DINAMICA

Committente: LKM DISTRIBUZION

Cantiere:LUCIGNANO Località: LA CONCIA

Caratteristiche Tecniche-Strumentali Sonda: DPSH TG 63-200 PAGANI

| our cutt | principal de l'action de l'act | COMMON DE | 22 20 00 200 111011111 |
|----------|--|------------|------------------------|
| | Rif. Norme D | IN 4094 | |
| | Peso Massa battente | 63,5 Kg | |
| | Altezza di caduta libera | 0,75 m | |
| | Peso sistema di battuta | 0,63 Kg | |
| | Diametro punta conica | 51,00 mr | n |
| | Area di base punta | 20,43 cm | 12 |
| | Lunghezza delle aste | 1 m | |
| | Peso aste a metro | 6,31 Kg | ɪ/m |
| | Profondità giunzione prima as | sta 0,40 m | |
| | Avanzamento punta | 0,20 m | |
| | Numero colpi per punta | N(20) | |
| | Rivestimento/fanghi | No | |
| | Angolo di apertura punta | 90° | |
| | | | |

PROVA ... Nr.1

Profondità prova

Strumento utilizzato... DPSH TG 63-200 PAGANI 10,00 mt

Falda non rilevata

Tipo elaborazione Nr. Colpi: Medio

| Profondità (m) | Nr. Colpi | Calcolo coeff. riduzione sonda Chi | Res. dinamica ridotta (Kg/cm²) | Res. dinamica (Kg/cm²) | Pres. ammissibile con riduzione Herminier - Olandesi (Kg/cm²) | Pres. ammissibile Herminier - Olandesi (Kg/cm²) |
|-------------------|-----------|---|--------------------------------|------------------------------|--|---|
| 0,20 | 5 | 0,855 | 44,90 | 52,54 | 2,24 | 2,63 |
| 0,40 | 6 | 0,851 | 53,64 | 63,04 | 2,68 | 3,15 |
| 0,60 | 7 | 0,847 | 57,18 | 67,50 | 2,86 | 3,38 |
| 0,80 | 12 | 0,843 | 97,59 | 115,72 | 4,88 | 5,79 |
| 1,00 | 14 | 0,790 | 106,62 | 135,01 | 5,33 | 6,75 |
| 1,20 | 13 | 0,786 | 98,57 | 125,36 | 4,93 | 6,27 |
| 1,40 | 13 | 0,783 | 98,14 | 125,36 | 4,91 | 6,27 |

| 1,60 | 14 | 0,780 | 97,25 | 124,75 | 4,86 | 6,24 |
|-------|----|-------|--------|--------|------|------|
| 1,80 | 15 | 0,776 | 103,77 | 133,66 | 5,19 | 6,68 |
| 2,00 | 7 | 0,823 | 51,35 | 62,38 | 2,57 | 3,12 |
| 2,20 | 8 | 0,820 | 58,46 | 71,29 | 2,92 | 3,56 |
| 2,40 | 8 | 0,817 | 58,25 | 71,29 | 2,91 | 3,56 |
| 2,60 | 7 | 0,814 | 47,20 | 57,97 | 2,36 | 2,90 |
| 2,80 | 8 | 0,811 | 53,76 | 66,25 | 2,69 | 3,31 |
| 3,00 | 9 | 0,809 | 60,27 | 74,54 | 3,01 | 3,73 |
| 3,20 | 7 | 0,806 | 46,73 | 57,97 | 2,34 | 2,90 |
| 3,40 | 8 | 0,803 | 53,23 | 66,25 | 2,66 | 3,31 |
| 3,60 | 7 | 0,801 | 43,37 | 54,15 | 2,17 | 2,71 |
| 3,80 | 7 | 0,798 | 43,23 | 54,15 | 2,16 | 2,71 |
| 4,00 | 10 | 0,796 | 61,58 | 77,36 | 3,08 | 3,87 |
| 4,20 | 15 | 0,744 | 86,29 | 116,03 | 4,31 | 5,80 |
| 4,40 | 17 | 0,741 | 97,50 | 131,50 | 4,88 | 6,58 |
| 4,60 | 18 | 0,739 | 96,56 | 130,62 | 4,83 | 6,53 |
| 4,80 | 19 | 0,737 | 101,63 | 137,88 | 5,08 | 6,89 |
| 5,00 | 17 | 0,735 | 90,68 | 123,37 | 4,53 | 6,17 |
| 5,20 | 18 | 0,733 | 95,75 | 130,62 | 4,79 | 6,53 |
| 5,40 | 19 | 0,731 | 100,80 | 137,88 | 5,04 | 6,89 |
| 5,60 | 17 | 0,729 | 84,71 | 116,18 | 4,24 | 5,81 |
| 5,80 | 18 | 0,727 | 89,47 | 123,01 | 4,47 | 6,15 |
| 6,00 | 19 | 0,725 | 94,20 | 129,85 | 4,71 | 6,49 |
| 6,20 | 20 | 0,724 | 98,92 | 136,68 | 4,95 | 6,83 |
| 6,40 | 20 | 0,722 | 98,69 | 136,68 | 4,93 | 6,83 |
| 6,60 | 21 | 0,670 | 90,91 | 135,61 | 4,55 | 6,78 |
| 6,80 | 20 | 0,719 | 92,83 | 129,16 | 4,64 | 6,46 |
| 7,00 | 21 | 0,667 | 90,48 | 135,61 | 4,52 | 6,78 |
| 7,20 | 22 | 0,666 | 94,57 | 142,07 | 4,73 | 7,10 |
| 7,40 | 21 | 0,664 | 90,07 | 135,61 | 4,50 | 6,78 |
| 7,60 | 23 | 0,663 | 93,30 | 140,78 | 4,66 | 7,04 |
| 7,80 | 23 | 0,661 | 93,10 | 140,78 | 4,65 | 7,04 |
| 8,00 | 21 | 0,660 | 84,82 | 128,54 | 4,24 | 6,43 |
| 8,20 | 21 | 0,659 | 84,65 | 128,54 | 4,23 | 6,43 |
| 8,40 | 20 | 0,707 | 86,58 | 122,42 | 4,33 | 6,12 |
| 8,60 | 21 | 0,656 | 80,14 | 122,16 | 4,01 | 6,11 |
| 8,80 | 22 | 0,655 | 83,79 | 127,98 | 4,19 | 6,40 |
| 9,00 | 23 | 0,653 | 87,44 | 133,80 | 4,37 | 6,69 |
| 9,20 | 23 | 0,652 | 87,27 | 133,80 | 4,36 | 6,69 |
| 9,40 | 23 | 0,651 | 87,12 | 133,80 | 4,36 | 6,69 |
| 9,60 | 21 | 0,650 | 75,65 | 116,39 | 3,78 | 5,82 |
| 9,80 | 21 | 0,649 | 75,52 | 116,39 | 3,78 | 5,82 |
| 10,00 | 23 | 0,648 | 82,57 | 127,48 | 4,13 | 6,37 |

| Prof. | NPDM | Rd | Tipo | Clay | Peso | Peso | Tension | Coeff. | (N1)100 | Descrizi |
|--------|-------|---------------------|----------------|----------|-----------|----------|---------------------|----------|---------|------------------|
| Strato | | (Kg/cm ² | | Fraction | unità di | unità di | e | di | | one |
| (m) | |) | | (%) | volume | volume | efficace | correlaz | | |
| | | | | | (t/m^3) | saturo | (Kg/cm ² | . con | | |
| | | | | | | (t/m³) |) | Nspt | | |
| 0,6 | 6 | 61,03 | | 0 | 0,0 | 0,0 | 0,0 | 1,46 | 8 | riporto |
| 2 | 12,57 | 117,47 | Incoere nte | 0 | 1,95 | 1,97 | 0,14 | 2,5 | 31 | sabbia |
| 4 | 7,9 | 65,12 | Incoere nte | 0 | 1,76 | 1,92 | 0,45 | 1,87 | 14 | sabbia limosa |

| 10 | 20,23 | 130,04 | Incoere | 0 | 2,14 | 2,5 | 1,27 | 1,09 | 22 | sabbia |
|----|-------|--------|---------|---|------|-----|------|------|----|--------|
| | | | nte | | | | | | | |

STIMA PARAMETRI GEOTECNICI PROVA Nr.1

Densità relativa

| Descrizione | (N1)100 | Prof. Strato (m) | Nspt corretto per presenza falda | Correlazione | Densità relativa (%) |
|------------------------|---------|---------------------|----------------------------------|-----------------------|-------------------------|
| [2] - sabbia | 31 | 2,00 | 31 | Gibbs & Holtz 1957 | 66,19 |
| [3] - sabbia Iimosa | 14 | 4,00 | 14 | Gibbs & Holtz 1957 | 39,3 |
| [4] - sabbia | 22 | 10,00 | 22 | Gibbs & Holtz 1957 | 37,89 |

Angolo di resistenza al taglio

| Descrizione | (N1)100 | Prof. Strato | Nspt corretto per | Correlazione | Angolo d'attrito |
|--------------|---------|--------------|-------------------|---------------|------------------|
| Descrizione | (11)100 | (m) | presenza falda | Correlazione | (°) |
| [2] - sabbia | 31 | 2,00 | 31 | Peck-Hanson- | 35,86 |
| | | | | Thomburn- | |
| | | | | Meyerhof 1956 | |
| [3] - sabbia | 14 | 4,00 | 14 | Peck-Hanson- | 31 |
| limosa | | | | Thornburn- | |
| | | | | Meyerhof 1956 | |
| [4] - sabbia | 22 | 10,00 | 22 | Peck-Hanson- | 33,29 |
| | | | | Thornburn- | |
| | | | | Meyerhof 1956 | |

Modulo Edometrico

| Descrizione | (N1)100 | Prof. Strato (m) | Nspt corretto per presenza falda | Correlazione | Modulo Edometrico (Kg/cm²) |
|------------------------|---------|---------------------|----------------------------------|---------------|----------------------------------|
| [2] - sabbia | 31 | 2,00 | 31 | Begemann 1974 | 91,14 |
| [3] - sabbia limosa | 14 | 4,00 | 14 | Begemann 1974 | 56,22 |
| [4] - sabbia | 22 | 10,00 | 22 | Begemann 1974 | 72,65 |

Classificazione AGI

| Descrizione | (N1)100 | Prof. Strato | Nspt corretto per | Correlazione | Classificazione |
|--------------|---------|--------------|-------------------|-----------------|-----------------|
| | | (m) | presenza falda | | AGI |
| [2] - sabbia | 31 | 2,00 | 31 | Classificazione | ADDENSATO |
| | | | | A.G.I | |
| [3] - sabbia | 14 | 4,00 | 14 | Classificazione | MODERATAME |
| limosa | | | | A.G.I | NTE |
| | | | | | ADDENSATO |
| [4] - sabbia | 22 | 10,00 | 22 | Classificazione | MODERATAME |
| | | | | A.G.I | NTE |
| | | | | | ADDENSATO |

Peso unità di volume

| Descrizione | (N1)100 | Prof. Strato (m) | Nspt corretto per presenza falda | Correlazione | Gamma (t/m³) |
|------------------------|---------|---------------------|----------------------------------|-------------------|-----------------|
| [2] - sabbia | 31 | 2,00 | 31 | Meyerhof ed altri | 2,14 |
| [3] - sabbia limosa | 14 | 4,00 | 14 | Meyerhof ed altri | 1,85 |
| [4] - sabbia | 22 | 10,00 | 22 | Meyerhof ed altri | 2,03 |

Modulo di Poisson

| Descrizione | (N1)100 | Prof. Strato (m) | Nspt corretto per presenza falda | Correlazione | Poisson |
|------------------------|---------|---------------------|----------------------------------|--------------|---------|
| [2] - sabbia | 31 | 2,00 | 31 | (A.G.I.) | 0,29 |
| [3] - sabbia limosa | 14 | 4,00 | 14 | (A.G.I.) | 0,33 |
| [4] - sabbia | 22 | 10,00 | 22 | (A.G.I.) | 0,31 |

